

实验八 电路过渡过程的研究

实验报告

姓名： 缪谨蔚

学号： 2017012002

班级： 自 75

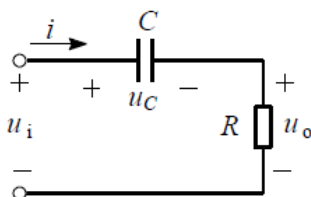
日期： 2020 年 4 月 29 日

1 实验目的

- (1) 研究 RC 微分电路和积分电路的过渡过程；
- (2) 研究 RLC 二阶电路的过渡过程。

2 实验说明

- (1) 微分电路：



由上图电路可列出：

$$u_o = Ri = RC \frac{du_C}{dt}$$

电路的时间常数 $\tau = RC$ 很小、 $u_C \gg u_o$ 时，输入电压 u_i 与电容 u_C 电压近似相等：

$$u_i \approx u_C$$

代入上式：

$$u_o \approx RC \frac{du_i}{dt}$$

当 τ 很小时，输出电压 u_o 近似与输入电压 u_i 对时间的导数成正比，称微分电路。

将电路接至直流电压，电路参数不同时过渡过程有不同的特点：

当 $R > 2\sqrt{\frac{L}{C}}$ 时，过渡过程中的电压、电流具有非周期的特点。

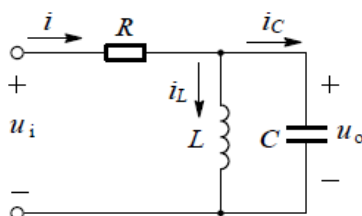
当 $R < 2\sqrt{\frac{L}{C}}$ 时，过渡过程中的电压、电流具有“衰减振荡”的特点；

此时衰减系数 $\delta = \frac{R}{2L}$ ；

$\omega_0 = \frac{1}{\sqrt{LC}}$ 是在 $R = 0$ 情况下的振荡角频率，即无阻尼振荡电路的固有角频率。

$R \neq 0$ 时，放电电路的固有振荡角频率 $\omega = \sqrt{\omega_0^2 - \delta^2}$ ，若 $\delta = \omega_0$ 时过程就变为非振荡的性质了。

(2) 积分电路：



交换 R 与 C 的位置可得：

$$u_i \approx RC \frac{du_o}{dt}$$

转化得：

$$u_o \approx \frac{1}{RC} \int u_i dt$$

当 τ 很大时，输出电压 u_o 近似与输入电压 u_i 对时间的积分成正比，称积分电路。

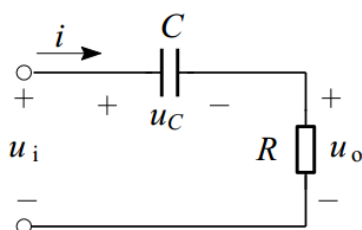
将电路接至直流电压，电路参数不同时过渡过程有不同的特点：

当 $R < \frac{1}{2} \sqrt{\frac{L}{C}}$ 时，响应是非振荡性质的；

当 $R > \frac{1}{2} \sqrt{\frac{L}{C}}$ 时，响应将形成衰减振荡，这时电路的衰减系数 $\delta = \frac{1}{2RC}$ 。

3 实验任务

3.1 预习任务



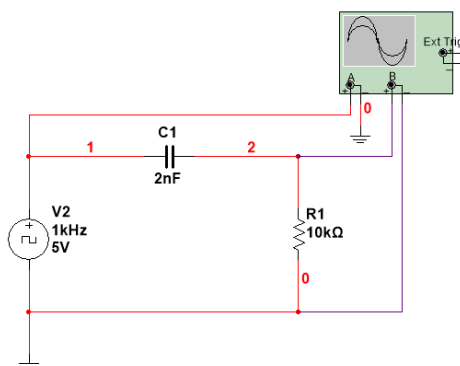
(1) 由已知：

$$\tau = RC$$

$$C = \frac{\tau}{R}$$

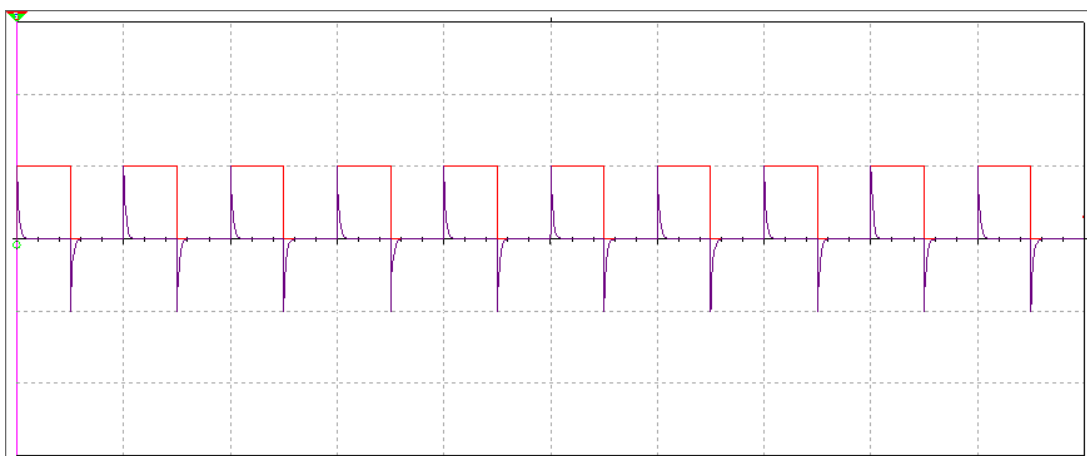
依次代入 $\tau = 0.02T, 0.1T, T, 10T$ ，得到电容值分别为：

$$C = 2nF, 10nF, 0.1\mu F, 1\mu F$$

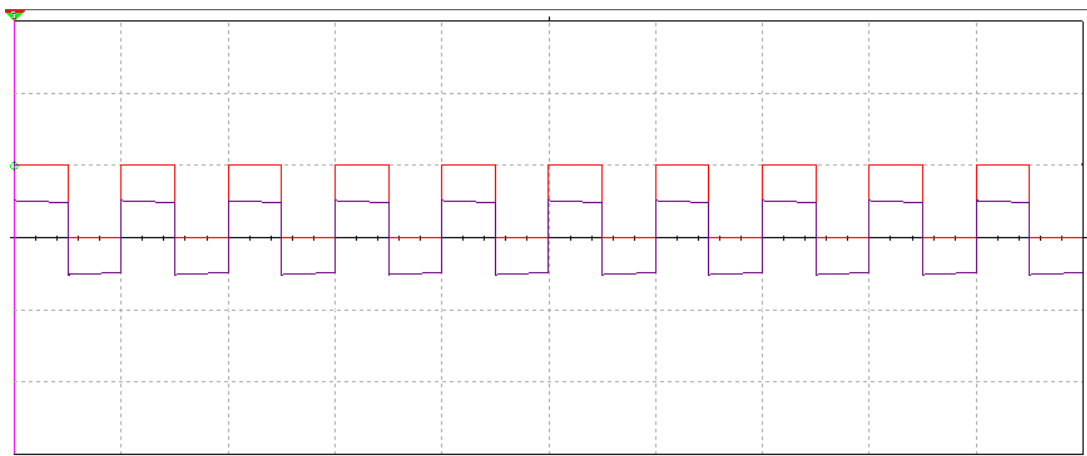


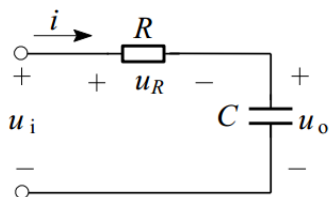
画出 $\tau = 0.02T$ 及 $\tau = 10T$ 两种情况下稳态时输出电压的波形 (红 u_i , 紫 u_o)。

● $\tau = 0.02T$ 时



● $\tau = 10T$ 时

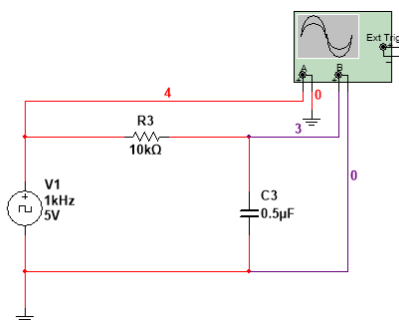




(2)

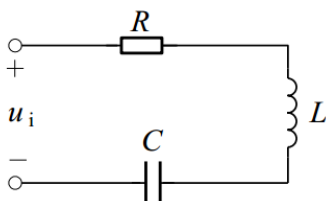
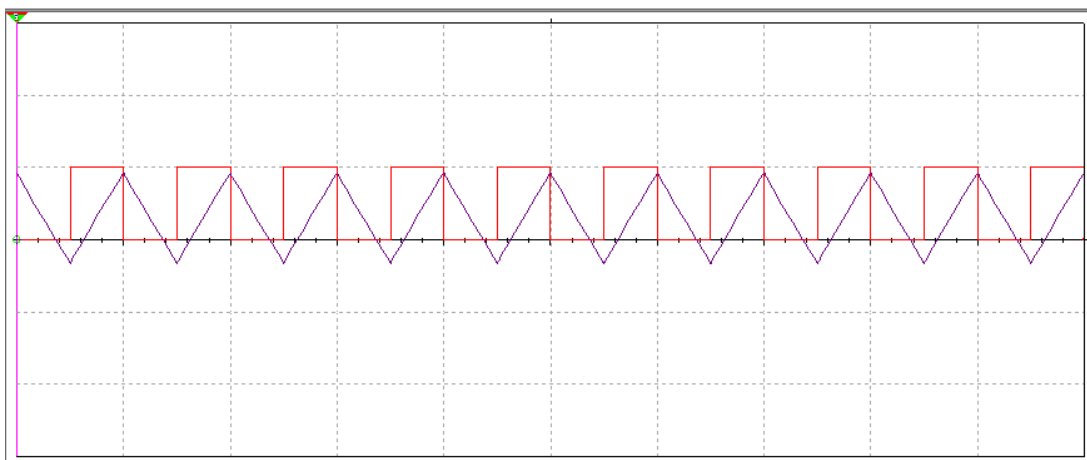
同 (1) 理，依次代入 $\tau = 5T, 0.1T$ ，得到电容值分别为：

$$C = 0.5\mu F, 10nF$$

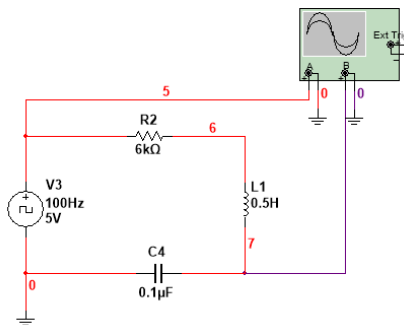


画出 $\tau = 5T$ 情况下稳态时输出电压的波形 (红 u_i ，紫 u_o)。

● $\tau = 5T$ 时



(3)

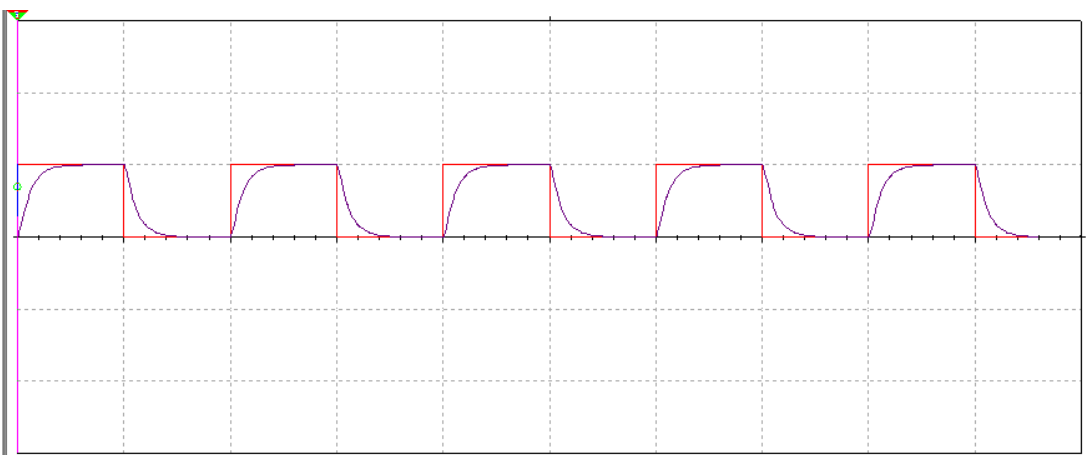


画出 $R = 1k\Omega$ 及 $R = 6k\Omega$ 两种情况下 u_c 的波形 (红 u_i , 紫 u_c)。

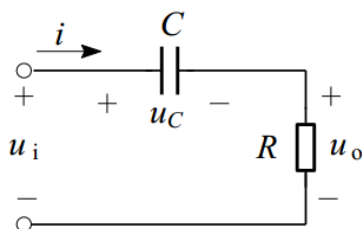
● $R = 1k\Omega$ 时



● $R = 6k\Omega$ 时



3.2 实验课任务



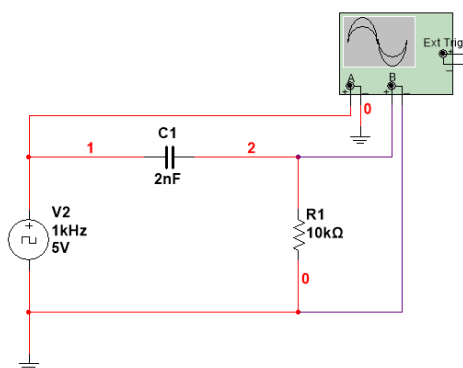
(1) 由已知：

$$\tau = RC$$

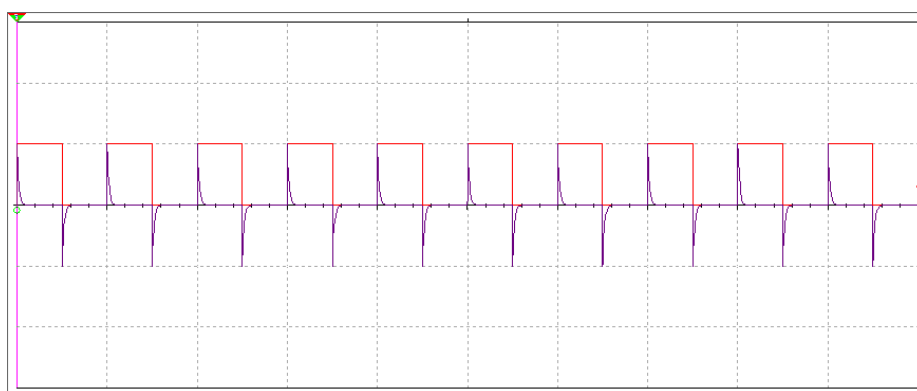
$$C = \frac{\tau}{R}$$

依次代入 $\tau = 0.02T, 0.1T, T, 10T$ ，得到电容值分别为：

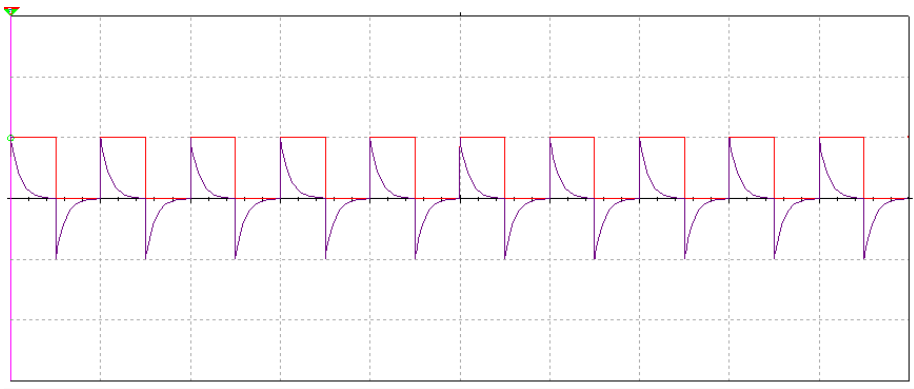
$$C = 2\text{nF}, 10\text{nF}, 0.1\mu\text{F}, 1\mu\text{F}$$



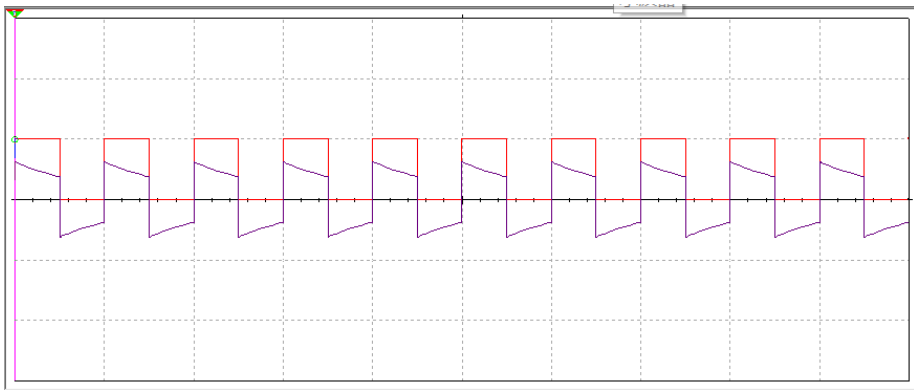
● $\tau = 0.02T$ 时



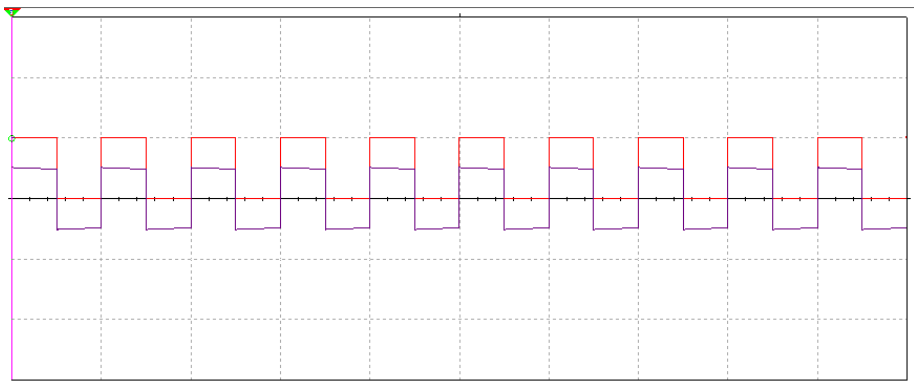
- $\tau = 0.1T$ 时

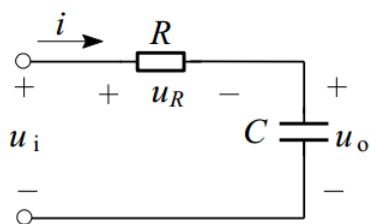


- $\tau = T$ 时



- $\tau = 10T$ 时

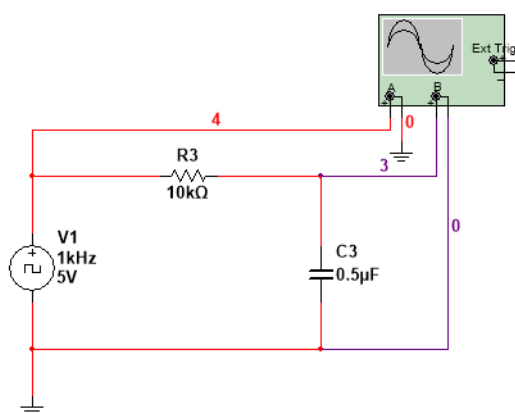




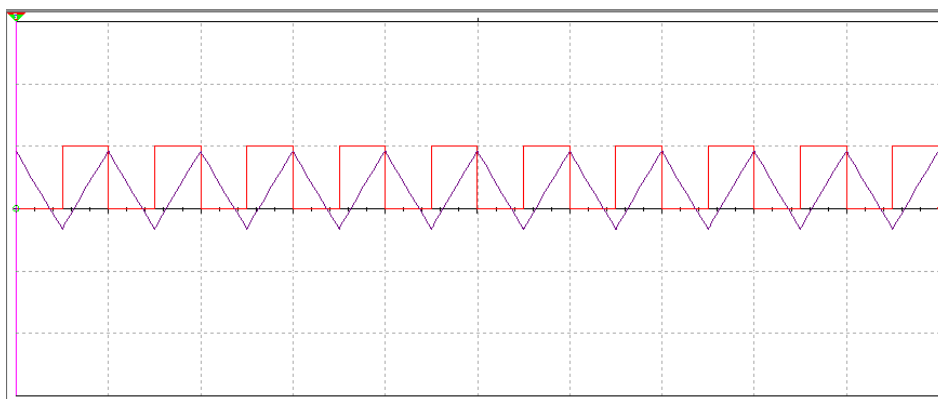
(2)

同 (1) 理, 依次代入 $\tau = 5T$, $0.1T$, 得到电容值分别为:

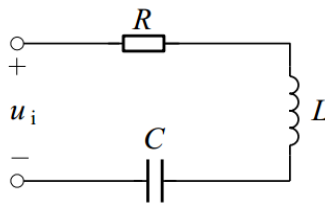
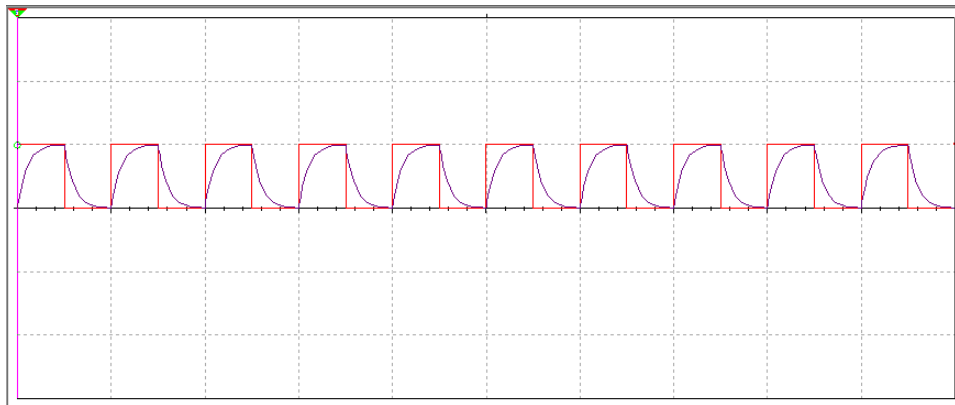
$$C = 0.5\mu F, 10nF$$



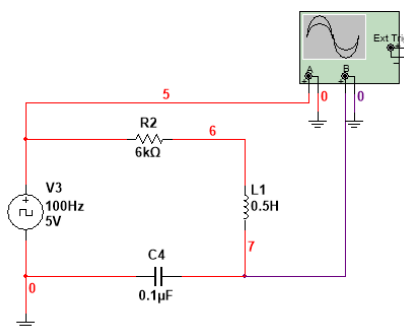
● $\tau = 5T$ 时



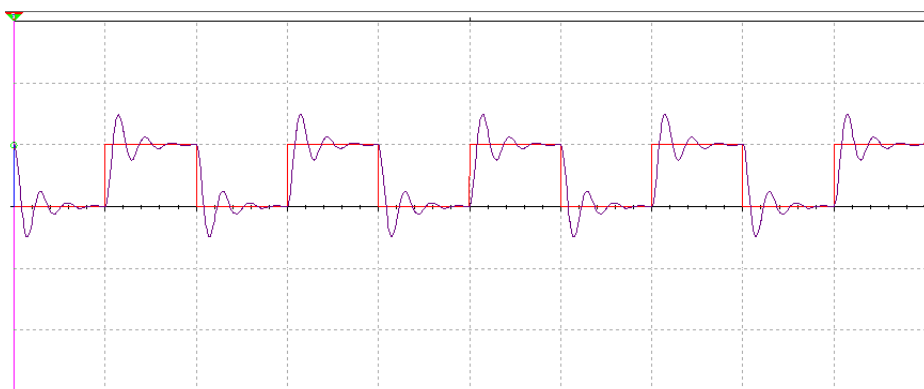
- $\tau = 0.1T$ 时



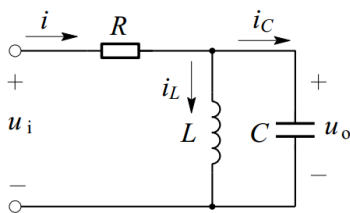
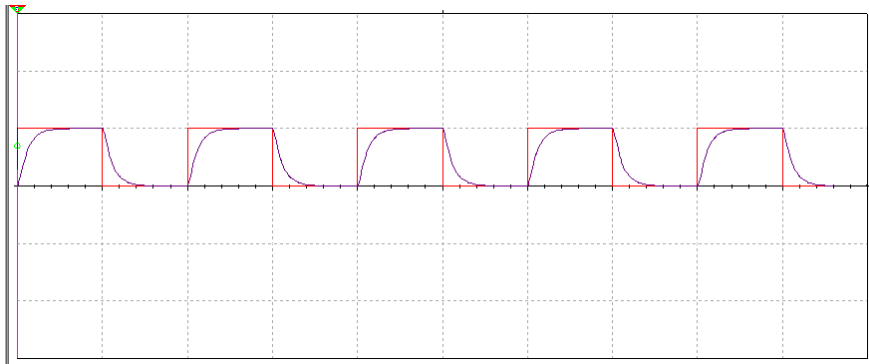
(3)



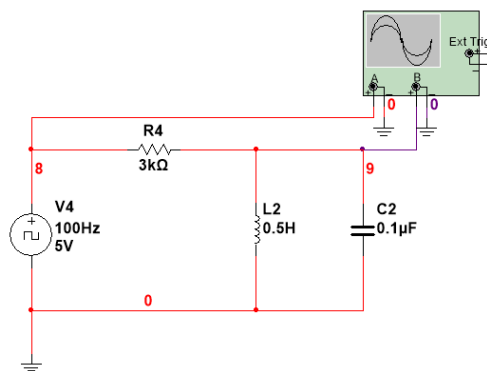
- $R = 1k\Omega$ 时



● $R = 6k\Omega$ 时



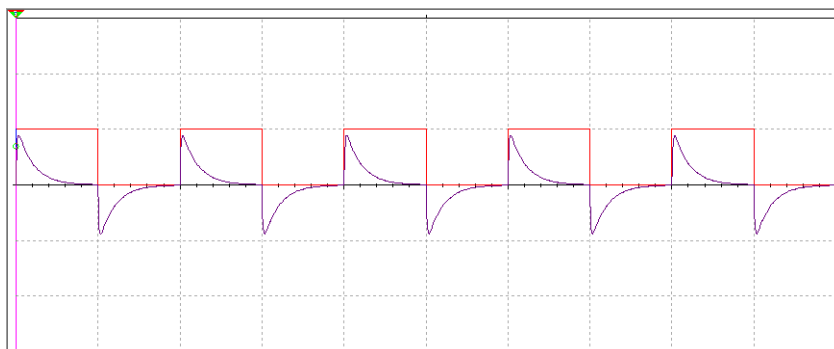
(4)



● $R = 3k\Omega$ 时

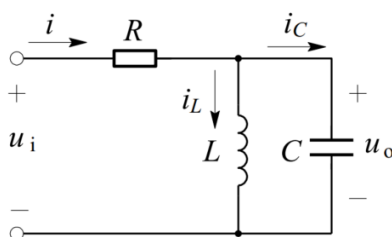
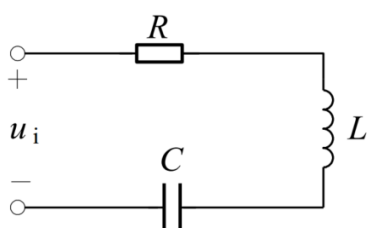


● $R = 500\Omega$ 时



4 思考题

对比两个电路的特性，电路元件的参数对电路响应的影响有什么不同？



对于RLC串联电路，零输入时：

$$\begin{cases} u_c = L \cdot \frac{di_L}{dt} + R \cdot i_L \\ i_L = -C \cdot \frac{du_c}{dt} \end{cases}$$

得到：

$$\frac{d^2 u_c}{dt^2} + \frac{R}{L} \cdot \frac{du_c}{dt} + \frac{1}{LC} u_c = 0$$

衰减系数为：

$$\delta = \frac{R}{2L}$$

固有振荡角频率为：

$$\omega_0 = \frac{1}{\sqrt{LC}}$$

如果 $\delta^2 > \omega_0^2$ ，则为过阻尼： $u_c = A_1 e^{p_1 t} + A_2 e^{p_2 t}$ ；

如果 $\delta^2 = \omega_0^2$ ，则为临界阻尼： $u_c = A_1 e^{p_1 t} + A_2 t e^{p_2 t}$ ；

如果 $\delta^2 < \omega_0^2$ ，则为欠阻尼： $u_c = K e^{-\alpha t} \sin(\alpha \omega t + \theta)$ ；

如果 $\delta = 0$ ，则为无阻尼： $u_c = K \sin(\omega_0 t + \theta)$ ；

其中， p_1 、 p_2 为方程 $\lambda^2 + R/L \cdot \lambda + 1/LC = 0$ 的特征根。

故当电感L、电容C参数不变时，随着电阻值R的增加，衰减系数 δ 随之增加，从而电路状态逐渐从无阻尼转变为欠阻尼、临界阻尼和过阻尼。综上所述，元件参数会影响电路的响应形式；当有输入时，输出 u_c 会叠加强制分量，但总的响应形式不变。

对于RLC并联电路，同理可得：

$$\delta = \frac{1}{2RC}$$

$$\omega_0 = \frac{1}{\sqrt{LC}}$$

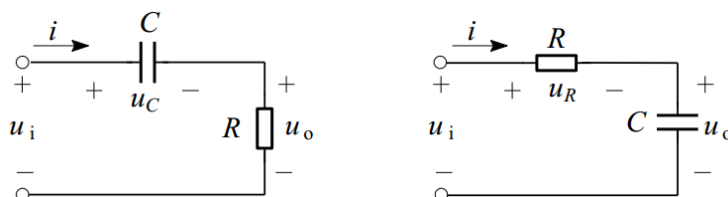
此外，其特征方程形式与响应形式一致。

5 终结报告要求

1. 将实验任务(1)、(2)、(3)、(4)中记录的波形整理在方格纸上。

各波形详见“3.2 实验课任务”部分。

2. 总结微分电路和积分电路的区别。



微分电路：输出电压与输入电压成微分关系，通常由电容和电阻组成，可以产生尖脉冲的响应；微分电路可以使输入方波转换成尖脉冲波；微分电路电容在主电路

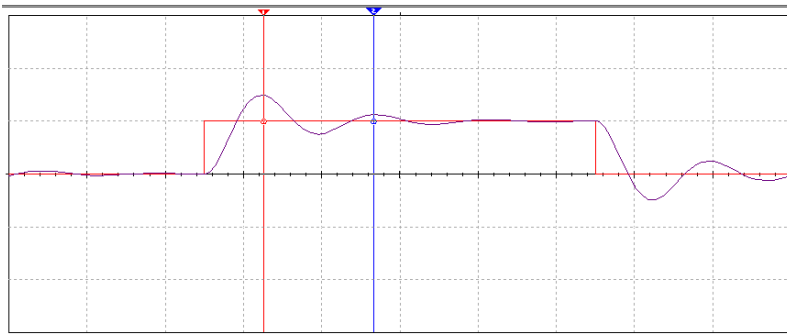
中，电阻在干路中，时间常数 τ 要小于或者等于1/10倍的输入脉冲宽度。

积分电路：输出电压与输入电压成积分关系，通常由电阻和电容组成，可以产生三角波形的响应；积分电路可以使输入方波转换成三角波或者斜波；积分电路电阻串联在主电路中，电容在干路中，时间常数 τ 大于或者等于10倍输入脉冲宽度。

3. 实验任务(1)中有哪些与预习分析有差异的现象，如何分析？

由于实验仿真为理想环境，故几乎不存在与预习分析的差异。

4. 根据实验任务(3)中取得的数据，求出衰减系数和阻尼振荡角频率，再根据R、L、C参数计算，并进行比较。



$R = 1k\Omega$ 时， $T = 1.407ms$ ，故：

$$\omega_d = \frac{2\pi}{T} = 4465.66 \text{ rad/s}$$

$$\delta = \frac{1}{T} \ln \frac{U_{m1}}{U_{m2}} = 991.72 \text{ s}^{-1}$$

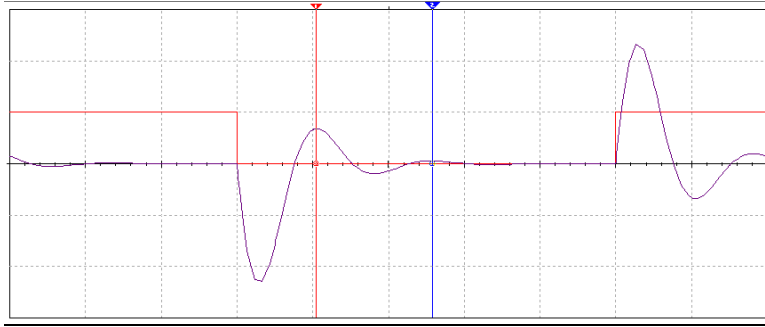
根据RLC参数可计算：

$$\delta = \frac{R}{2L} = 1000 \text{ s}^{-1}$$

$$\omega_d = \sqrt{\omega_0^2 - \delta^2} = 4358.90 \text{ rad/s}$$

故 $e(\omega_d) = 2.45\%$ ， $e(\delta) = 0.83\%$ ，理论计算与仿真结果存在一定误差，可能是未考虑电感的电阻效应所致。

5. 根据实验任务(4)中取得的数据，求出衰减系数和阻尼振荡角频率，再根据R、L、C参数计算，并进行比较。



$R = 3k\Omega$ 时, $T = 1.536ms$, 故:

$$\omega_d = \frac{2\pi}{T} = 4090.62 \text{ rad/s}$$

$$\delta = \frac{1}{T} \ln \frac{U_{m1}}{U_{m2}} = 1604.54 \text{ s}^{-1}$$

根据RLC参数可计算:

$$\delta = \frac{1}{2RC} = 1666.67 \text{ s}^{-1}$$

$$\omega_d = \sqrt{\omega_0^2 - \delta^2} = 4149.97 \text{ rad/s}$$

故 $e(\omega_d) = 1.43\%$, $e(\delta) = 3.73\%$, 理论计算与仿真结果的误差较小。

6 实验结论与收获

通过本实验, 我们对 RC 微分电路和积分电路的过渡过程, 以及 RLC 二阶电路的过渡过程有了进一步的深入理解。

对于微分电路, 时间常数 $\tau = RC$ 很小时, 输出电压 u_o 近似与输入电压 u_i 对时间的导数成正比, 将电路接至直流电压, 电路参数不同时过渡过程有不同的特点。其中, 当 $R < 2\sqrt{\frac{L}{C}}$ 时, 过渡过程中的电压、电流具有衰减振荡的特点, 此时衰减系数 $\delta = \frac{R}{2L}$ 。

对于积分电路, 当 τ 很大时, 输出电压 u_o 近似与输入电压 u_i 对时间的积分成正比, 将电路接至直流电压, 电路参数不同时过渡过程有不同的特点。其中, 当 $R > \frac{1}{2}\sqrt{\frac{L}{C}}$ 时, 响应将形成衰减振荡, 这时电路的衰减系数 $\delta = \frac{1}{2RC}$ 。